2021年2月13日福島県沖地震 はぎとり波の詳細とSs, Sdとの比較

2021年5月27日

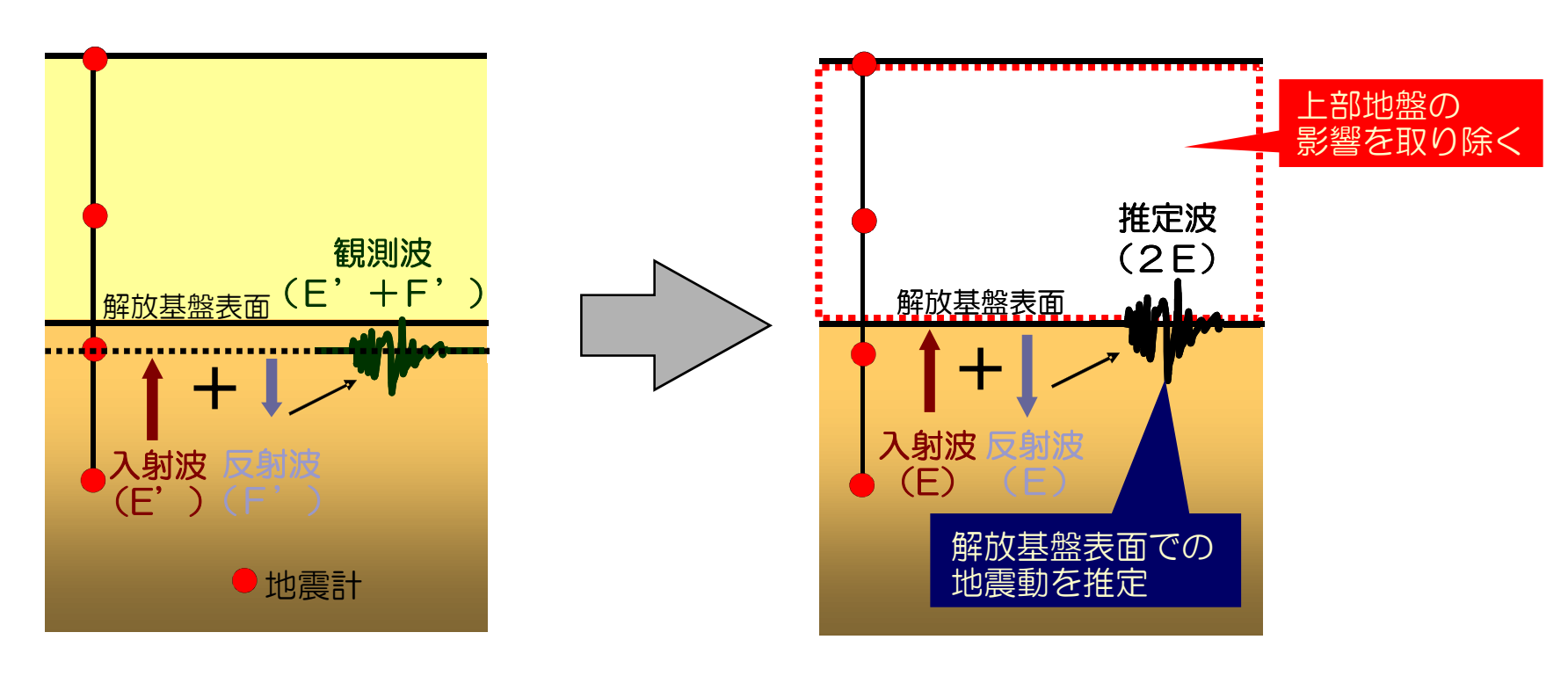


東京電力ホールディングス株式会社

本資料中におけるO.P.表記は震災前の「旧O.P表記」を指す。 T.P.表記に換算する際は、震災後の地盤沈下量(-709mm)とO.P.から T.P.への読替値(-727mm)を用いて、下式に基づき換算する。 <換算式> T.P.=旧O.P.-1,436mm



地盤中の記録から,上部地盤の影響を取り除き,解放基盤表面の地震動を推定する。 なお,解放基盤表面の地震動を「はぎとり波」と呼ぶ。



はぎとり解析の概念図



地盤中の記録から,上部地盤の影響を取り除き,はぎとり波を推定する。はぎとり波は,最も観測記録が多く得られている自由地盤系北地点の水平動の分析結果を踏まえ,以下の検討フローに基づき推定する。

①地盤モデル同定

最も観測記録が多く得られている自由地盤系北地点の水平動を対象に、今回の地震観測記録を用いて評価した伝達関数を対象に逆解析を実施し、地盤モデル(以下、今回モデル)を同定。

- ・逆解析手法はGAを採用
- ・同定の対象としたパラメータS波速度・減衰
- ・層厚,密度についてはPS検 層結果を参考に固定

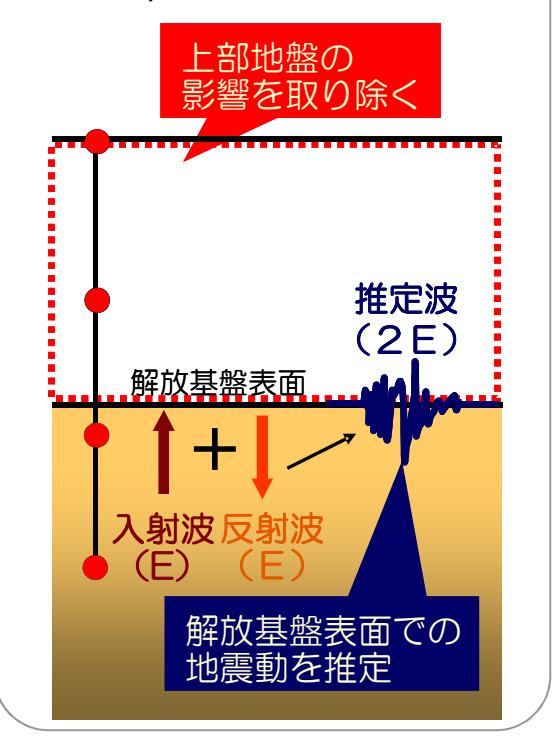
②はぎとり解析用の 地盤モデルの設定

①で求めた今回モデルと 2011年東北地方太平洋沖地 震の観測記録を用いて同定し た地盤モデル(以下,既往モ デル)を比較。

両モデルのS波速度・減衰, 理論伝達関数,及びはぎとり 波がほぼ同等となることから, 既往モデルを用いることが妥 当と考えられる。なお,北地 点(水平動)については,今 回の記録を用いて適切に地盤 同定ができたことから今回モ デルを用いる。

③はぎとり波推定

②で設定した地盤モデルを用いて, はぎとり波を推定



①地盤モデル同定(今回モデル)



自由地盤系北地点 地盤モデルの同定(水平方向)

- ・S波の鉛直入射を仮定した一次元波動論 に基づく理論地盤伝達特性を当てはめる 逆解析により同定
- ・観測記録による伝達関数は、方向による 差異が無いことを確認後、NS・EW方向 の平均で評価
- ・同定対象は, S波速度及び減衰 (層厚, 密度はPS検層結果で固定)
- ・探索範囲は以下の通り設定 【S波速度】

 $O.P.+14.2m \sim O.P.+0.2m$

・・・初期モデルの0.25~1.2倍

上記以外・・・初期モデルの0.8~1.2倍

【減衰】

 $h(f) = h_0 \times f^{-a}$ $0 \le h(f) \le 1$ 探索範囲は h_0 , aとも $0 \sim 1$

・遺伝的アルゴリズムを用い,初期乱数を変えた10回の試行計算を実施。最小誤差を 与える地盤モデルを採用。

地盤モデルの同定結果(水平方向)

[固定パラメータ			同定結果		
O.P.	層厚	密度	S波速度	S波速度	減衰 h(f)=h _o ×f ^{-α}	
(m)	(m)	(g/cm^3)	(m/s)	(m/s)	h _o	α
+14.2						
	2.0	1.70	150	111	0.400	0.26
+12.2	12.0	1.80	430	318	0.193	
+0.2	5.2	1.68	470	455	0.149	1.00
-5.0	66.8	1.68	470			
-71.8	22.0	1.70	570	535		
-93.8	6.2	1.78	0.1.0	572	0.063	0.87
-100.0	85.8	1.78	610			
-185.8	10.2	1.83		735		
-196.0	4.0	1.83				
-200.0	100.0	1.83	780			
-300.0	_	1.83				

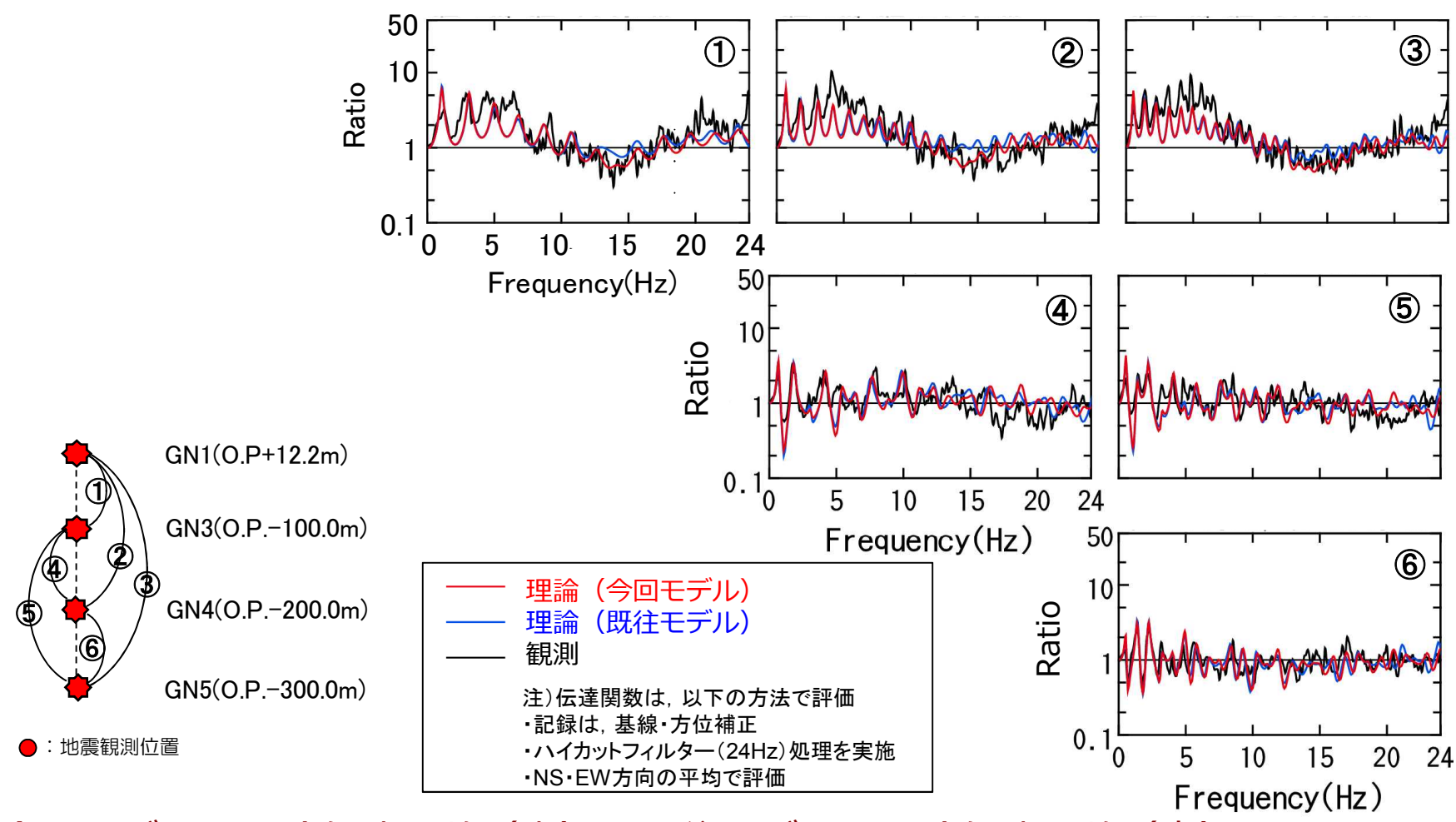
●:地震観測位置

※固定パラメータPS検層結果による。

②はぎとり解析用の地盤モデルの設定



- ・今回モデルの理論伝達関数は観測記録による伝達関数を再現。
- ・今回モデルと既往モデルの理論伝達関数はほぼ同等。



今回モデルの理論伝達関数(赤),既往モデルの理論伝達関数(青), 及び観測記録による伝達関数(黒)の比較

②はぎとり解析用の地盤モデルの設定



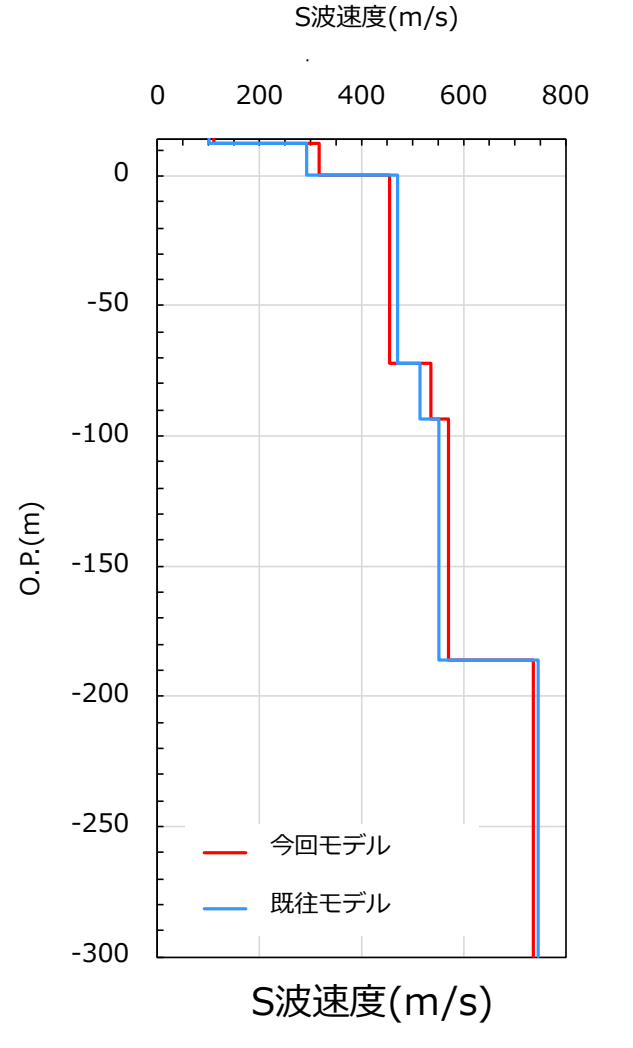
・同定された今回モデルのS波速度と減衰は既往モデルとほぼ同等。

今回モデル

O.P.	層厚	S波速度	減衰 h(f)=h ₀ ×f⁻ ^α	
(m)	(m)	(m/s)	h ₀	α
+14.2				
	2.0	111	0.193	0.26
+12.2	12.0	318	0.193	0.26
+0.2	5.2	455	0.149	1.00
-5.0	66.8	455	0.149	1.00
-71.8	22.0	535	0.063	0.87
-93.8	6.2	572	0.063	0.87
-100.0	85.8	572	0.063	0.87
-185.8	10.2	735	0.063	0.87
-196.0	4.0	735	0.063	0.87
-200.0	100.0	735	0.063	0.87
-300.0	_	735	0.063	0.87

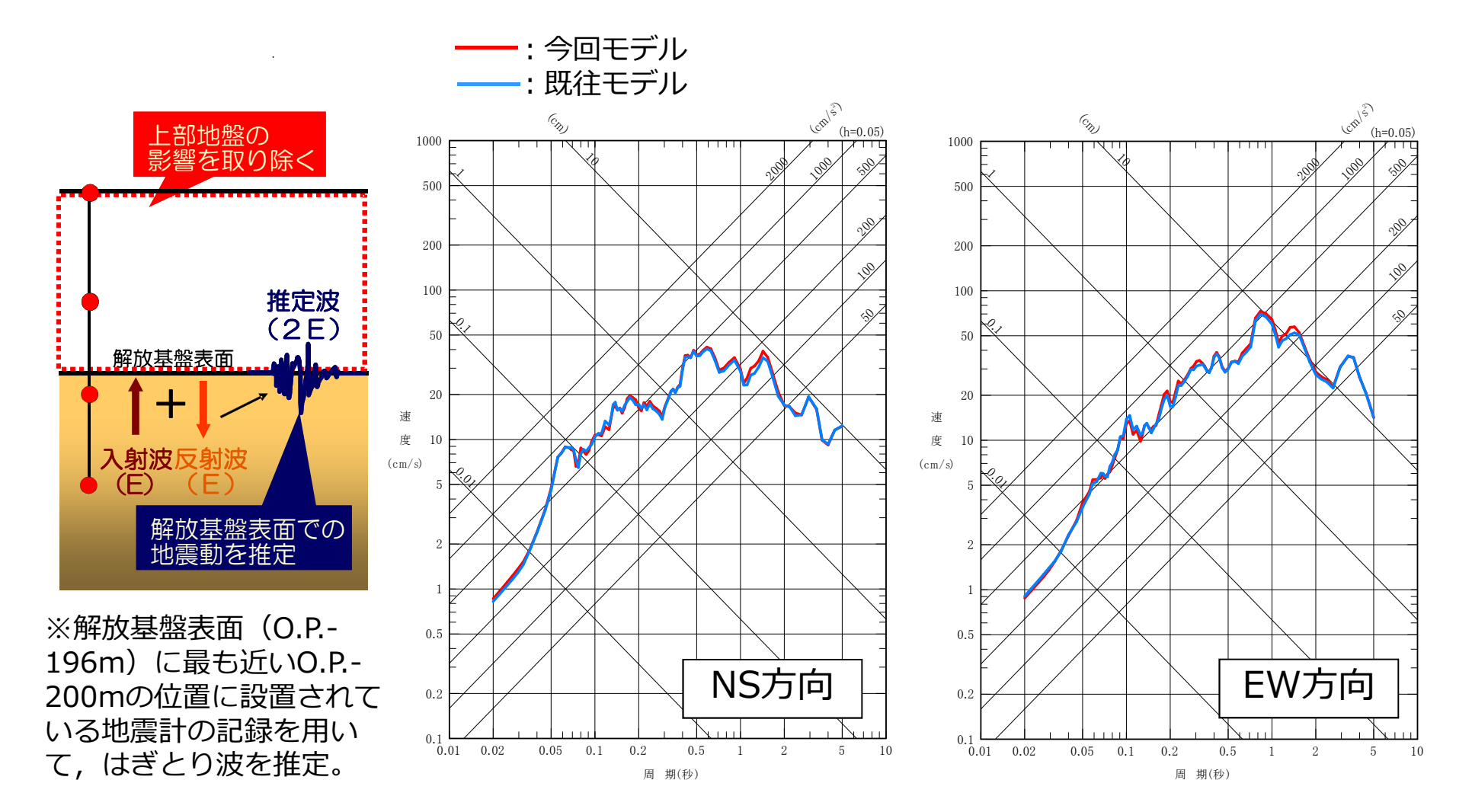
既往モデル

O.P.	層厚	S波速度	減衰 h(f)=h ₀ ×f ^{-α}	
(m)	(m)	(m/s)	h _o	α
+14.2				
	2.0	103	1.000	0.59
+12.2	12.0	294	0.363	0.53
+0.2	5.2	471	0.127	1.00
-5.0	66.8	471	0.127	1.00
-71.8	22.0	515	0.070	0.94
-93.8	6.2	551	0.070	0.94
-100.0	85.8	551	0.070	0.94
-185.8	10.2	746	0.070	0.94
-196.0	4.0	746	0.070	0.94
-200.0	100.0	746	0.070	0.94
-300.0	—	746	0.070	0.94





・今回モデルによるはぎとり波は既往モデルによるはぎとり波とほぼ同等。



今回モデルによるはぎとり波(赤)と既往モデルによるはぎとり波(青)



地盤モデルの設定方針

今回モデルと既往モデルのS波速度・減衰,理論伝達関数,及びはぎとり波がほぼ同等となることから,既往モデルを用いることが妥当と考えられる。なお,北地点(水平動)については,今回の記録を用いて適切に地盤同定ができたことから今回モデルを用いる。

北地点(水平方向)今回モデル

O.P.	層厚	密度	S波速度	減衰 h(f)=h ₀ ×f⁻ ^α	
(m)	(m)	(g/cm^3)	(m/s)	h_0	α
+14.2					
	2.0	1.70	111	0.193	0.26
+12.2	12.0	1.80	318	0.193	0.26
+0.2	5.2	1.68	455	0.149	1.00
-5.0	66.8	1.68	455	0.149	1.00
-71.8	22.0	1.70	535	0.063	0.87
-93.8	6.2	1.78	572	0.063	0.87
-100.0	85.8	1.78	572	0.063	0.87
-185.8	10.2	1.83	735	0.063	0.87
-196.0	4.0	1.83	735	0.063	0.87
-200.0	100.0	1.83	735	0.063	0.87
-300.0	_	1.83	735	0.063	0.87

北地点(上下方向)既往モデル

O.P.	層厚	密度	P波速度	減衰 h(f)=h ₀ ×f⁻ ^α	
(m)	(m)	(g/cm^3)	(m/s)	h _o	α
+14.2					
	2.0	1.70	1229	0.382	0.40
+12.2	12.0	1.80	1229	0.382	0.40
+0.2	5.2	1.68	1803	0.582	1.00
-5.0	66.8	1.68	1803	0.582	1.00
-71.8	22.0	1.70	1803	0.582	1.00
-93.8	6.2	1.78	1879	0.266	1.00
-100.0	85.8	1.78	1879	0.266	1.00
-185.8	10.2	1.83	1982	0.196	1.00
-196.0	4.0	1.83	1982	0.196	1.00
-200.0	100.0	1.83	1982	0.196	1.00
-300.0	_	1.83	1982	0.196	1.00



南地点(水平方向) 既往モデル

O.P.	 層厚	密度	S波速度	減衰	
0.1 .	/E / 	ш/Х	0//文述/文	$h(f)=h_0 \times f^{-\alpha}$	
(m)	(m)	(g/cm ³)	(m/s)	h_0	α
+34.9					
.000	2.0	2.10	285	0.291	0.25
+32.9	6.0	2.10	285	0.291	0.25
+26.9	8.0	2.00	252	0.274	1.00
+18.9	22.0	1.73	400	0.274	1.00
-3.1	1.9	1.73	486	0.107	0.67
-5.0	44.1	1.73	486	0.107	0.67
-49.1	24.0	1.80	486	0.107	0.67
-73.1	24.0	1.80	592	0.107	0.67
-97.1	2.9	1.77	592	0.107	0.67
-100.0	9.1	1.77	592	0.107	0.67
-109.1	46.0	1.77	659	0.063	1.00
-155.1					
-195.1	40.0	1.76	659	0.063	1.00
-196.0	0.9	1.76	740	0.063	1.00
-200.0	4.0	1.76	740	0.063	1.00
-210.1	10.1	1.76	740	0.063	1.00
	89.9	1.81	740	0.063	1.00
-300.0	_	1.81	740	0.063	1.00

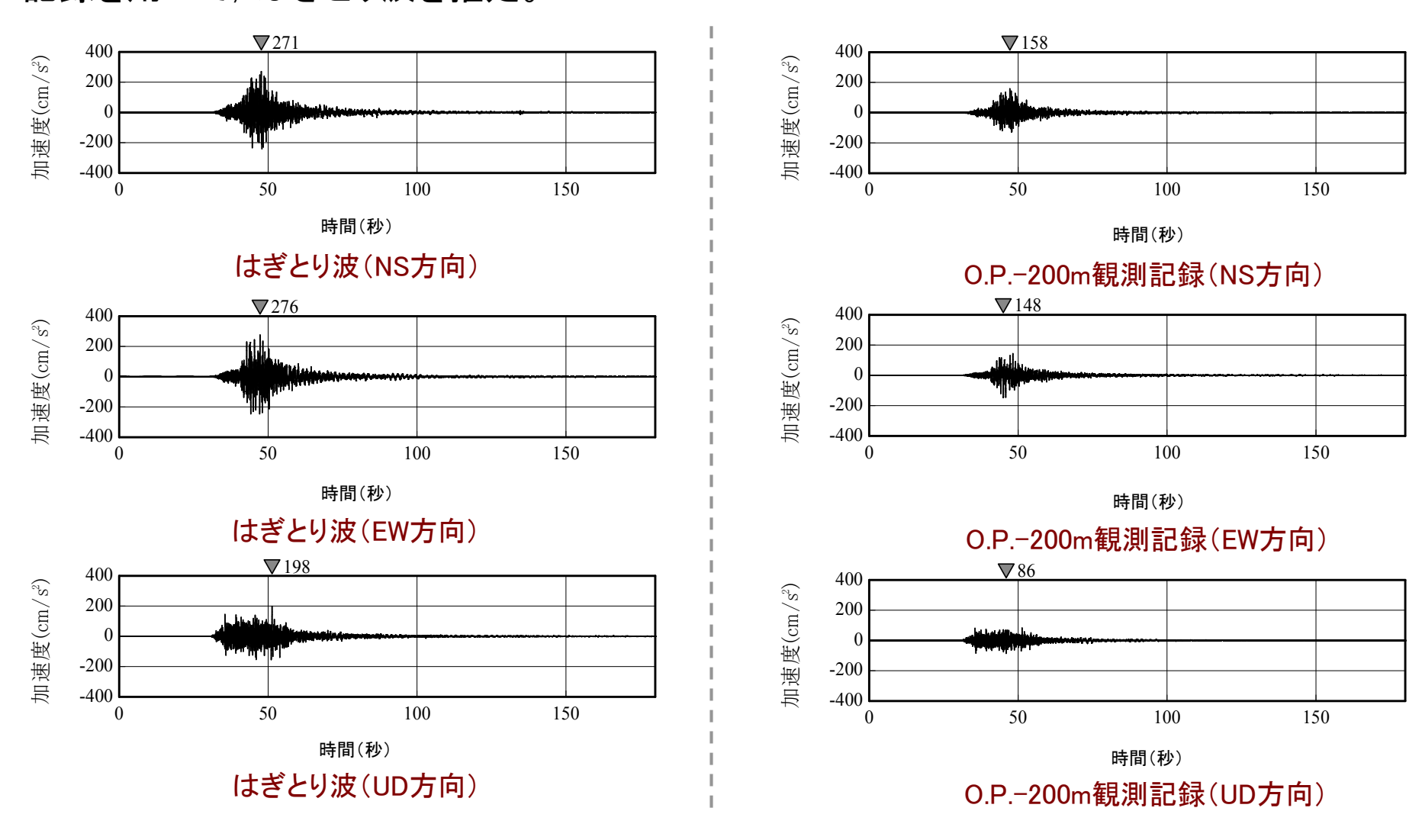
南地点(上下方向)既往モデル

O.P.	層厚	密度	P波速度	減衰 h(f)=h _o ×f ^{-α}	
(m)	(m)	(g/cm^3)	(m/s)	h_0	α
+34.9					
	2.0	2.10	366	0.139	0.55
+32.9	6.0	2.10	366	0.139	0.55
+26.9	8.0	2.00	1042	1.000	0.71
+18.9	22.0	1.73	1502	1.000	0.71
-3.1	1.9	1.73	1823	0.627	1.00
-5.0	44.1	1.73	1823	0.627	1.00
-49.1	24.0	1.80	1823	0.627	1.00
-73.1	24.0	1.80	1823	0.627	1.00
-97.1	2.9	1.77	1823	0.627	1.00
-100.0	9.1	1.77	1823	0.627	1.00
-109.1	46.0	1.77	1907	0.252	1.00
-155.1	40.0	1.76	1907	0.252	1.00
-195.1	0.9	1.76	2108	0.252	1.00
-196.0	4.0	1.76	2108	0.252	1.00
-200.0	10.1	1.76	2108	0.252	1.00
-210.1	89.9	1.81	2108	0.252	1.00
-300.0	_	1.81	2108	0.252	1.00

③自由地盤系北地点 はぎとり波の推定(加速度時刻歴波形)



解放基盤表面(O.P.-196m)に最も近いO.P.-200mの位置に設置されている地震計の記録を用いて、はぎとり波を推定。



③自由地盤系北地点 はぎとり波の推定 (擬似速度応答スペクトル)



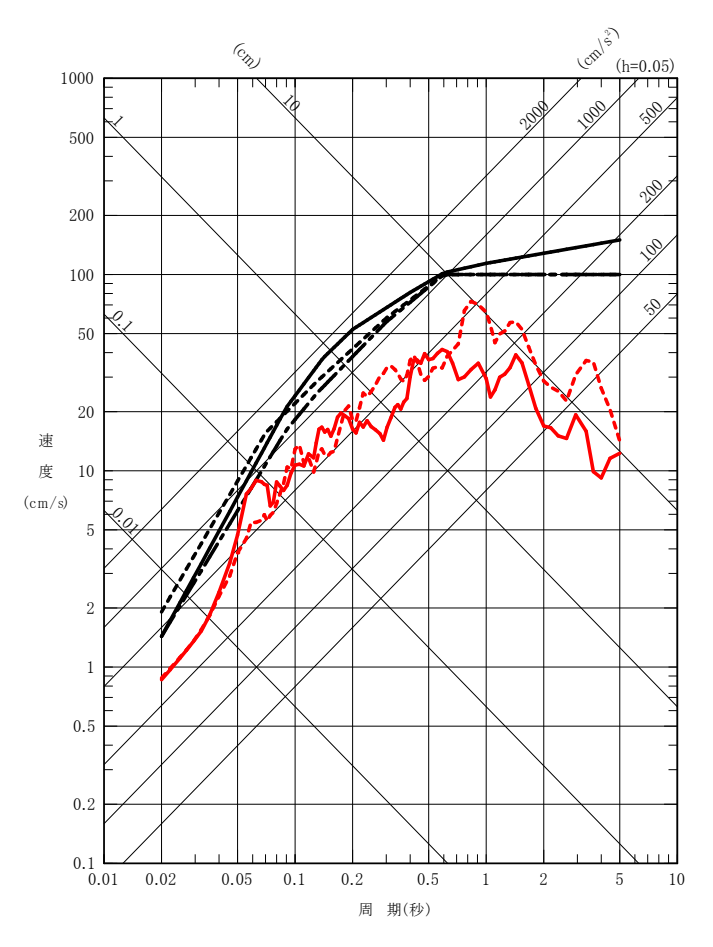
—— 基準地震動Ss-1H

----- 基準地震動Ss-2H

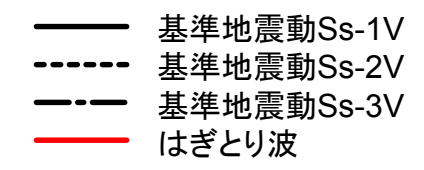
■ 基準地震動Ss-3H

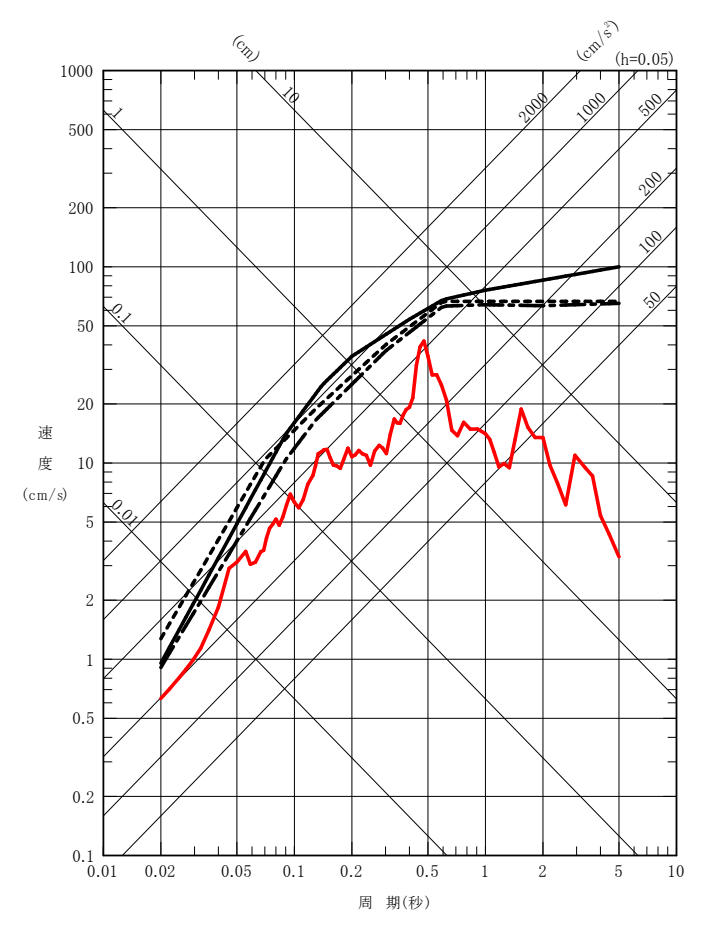
はぎとり波(NS方向)

----- はぎとり波(EW方向)



はぎとり波と基準地震動Ssの比較(水平方向)





はぎとり波と基準地震動Ssの比較(鉛直方向)

③自由地盤系北地点 はぎとり波の推定(加速度応答スペクトル)



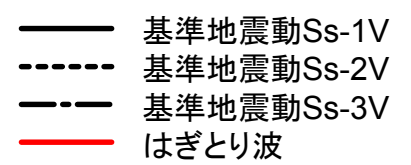
----- 基準地震動Ss-1H

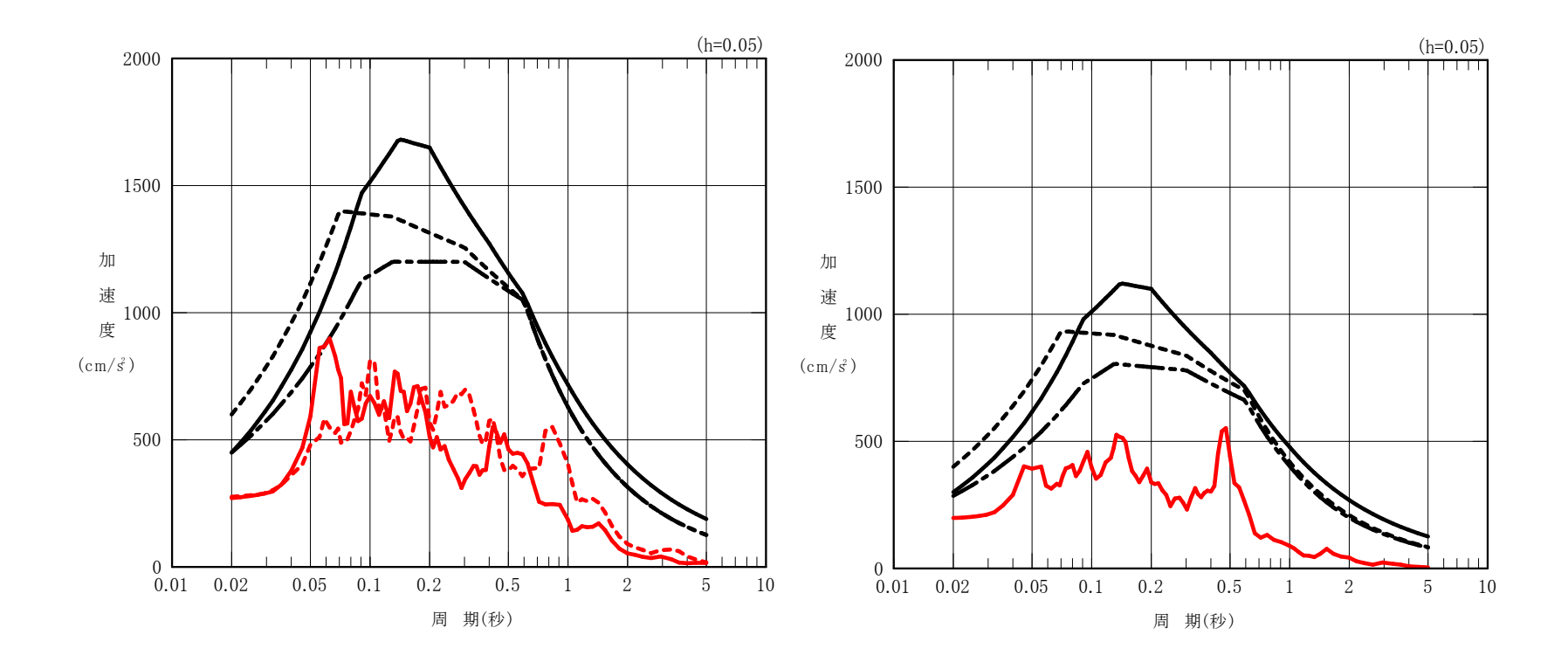
----- 基準地震動Ss-2H

■ 基準地震動Ss-3H

はぎとり波(NS方向)

----- はぎとり波(EW方向)





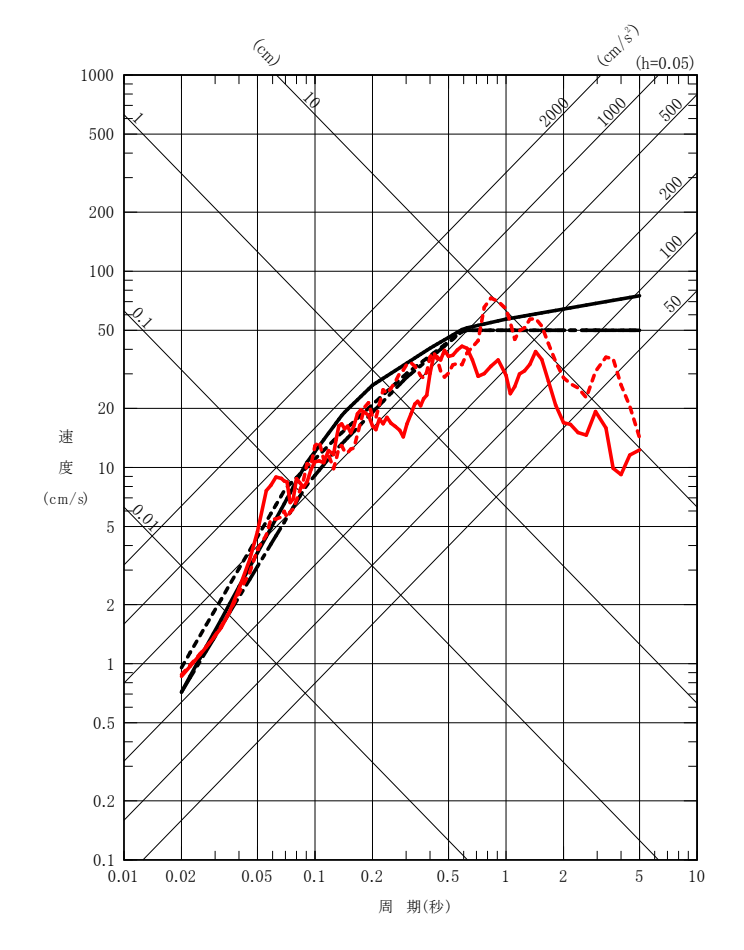
はぎとり波と基準地震動Ssの比較(水平方向)

はぎとり波と基準地震動Ssの比較(鉛直方向)

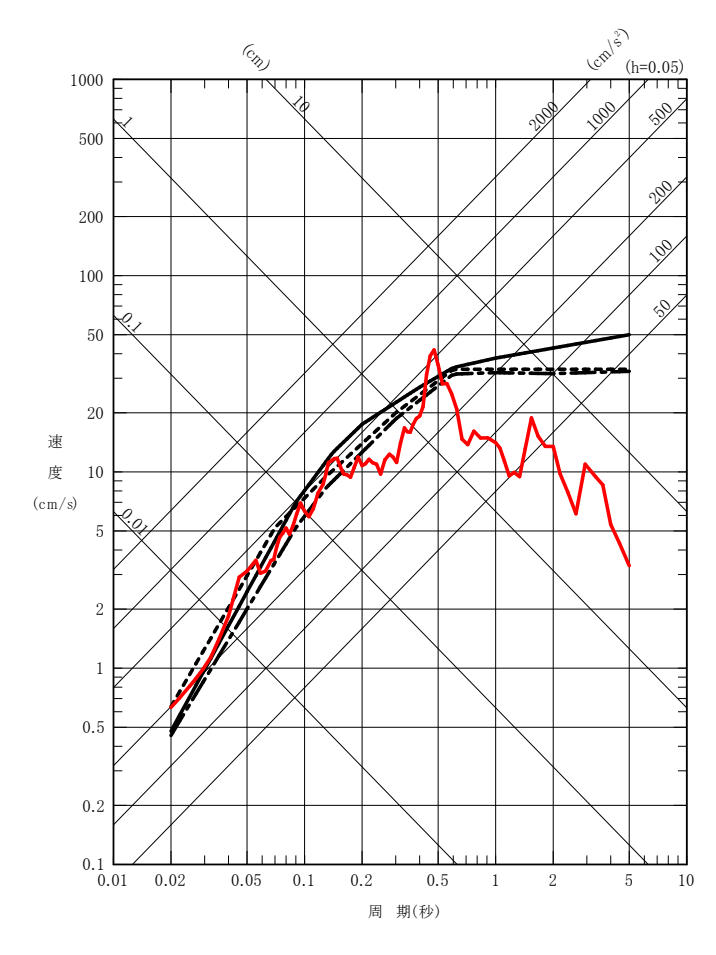
③自由地盤系北地点 はぎとり波の推定 (擬似速度応答スペクトル)



弾性設計用地震動Sd-1H呼性設計用地震動Sd-2H弾性設計用地震動Sd-3Hはぎとり波(NS方向)はぎとり波(EW方向)



弾性設計用地震動Sd-1V弾性設計用地震動Sd-2V弾性設計用地震動Sd-3Vはぎとり波



はぎとり波と弾性設計用地震動Sdの比較(水平方向)

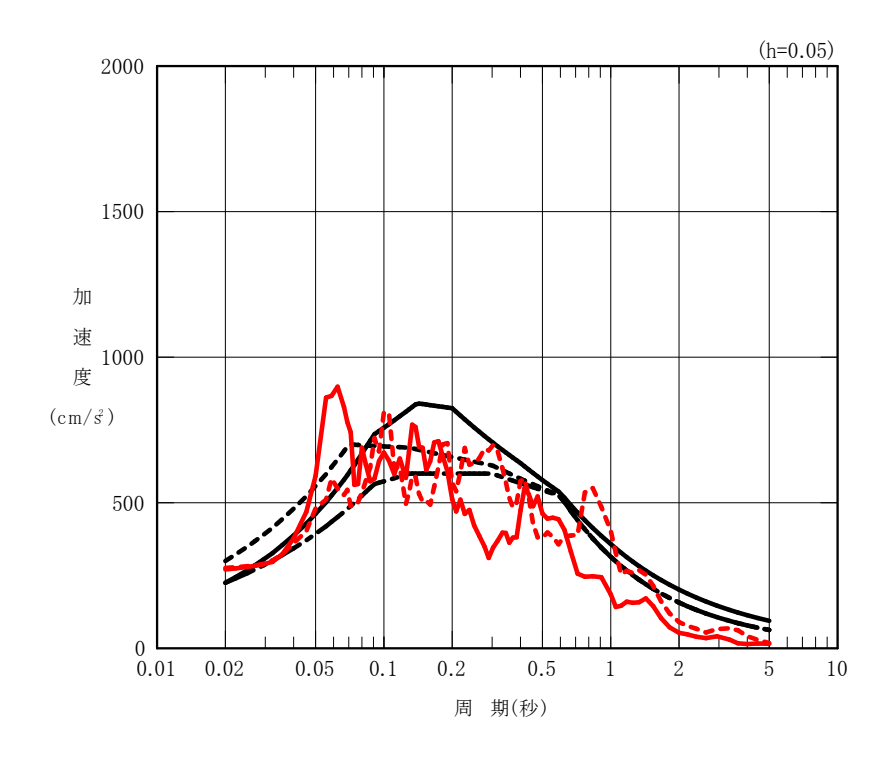
はぎとり波と弾性設計用地震動Sdの比較(鉛直方向)

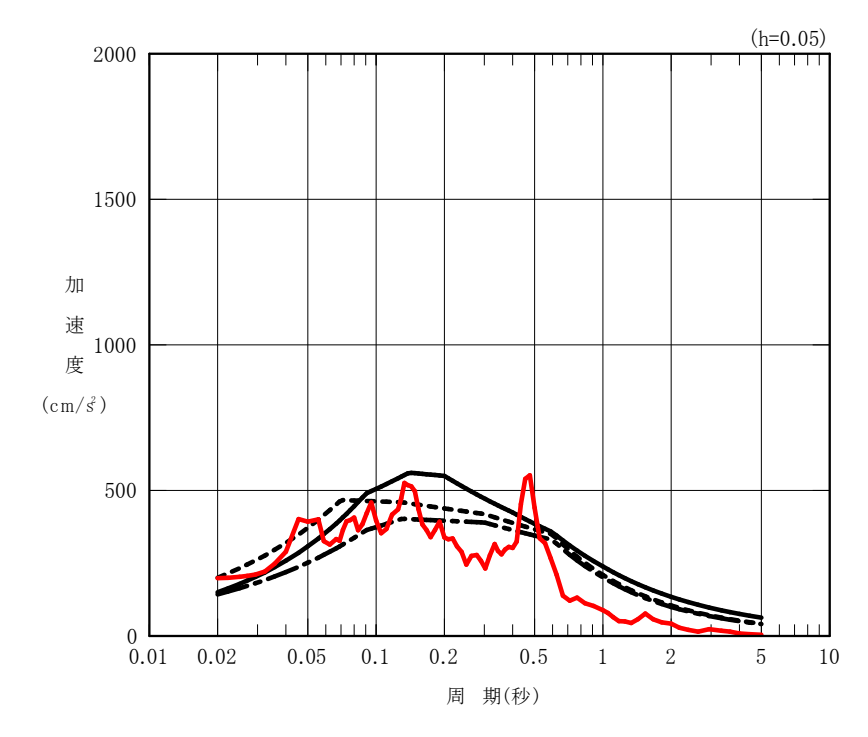
③自由地盤系北地点 はぎとり波の推定(加速度応答スペクトル)



弾性設計用地震動Sd-1H呼性設計用地震動Sd-2H弾性設計用地震動Sd-3Hはぎとり波(NS方向)はぎとり波(EW方向)

弾性設計用地震動Sd-1V呼性設計用地震動Sd-2V弾性設計用地震動Sd-3Vはぎとり波





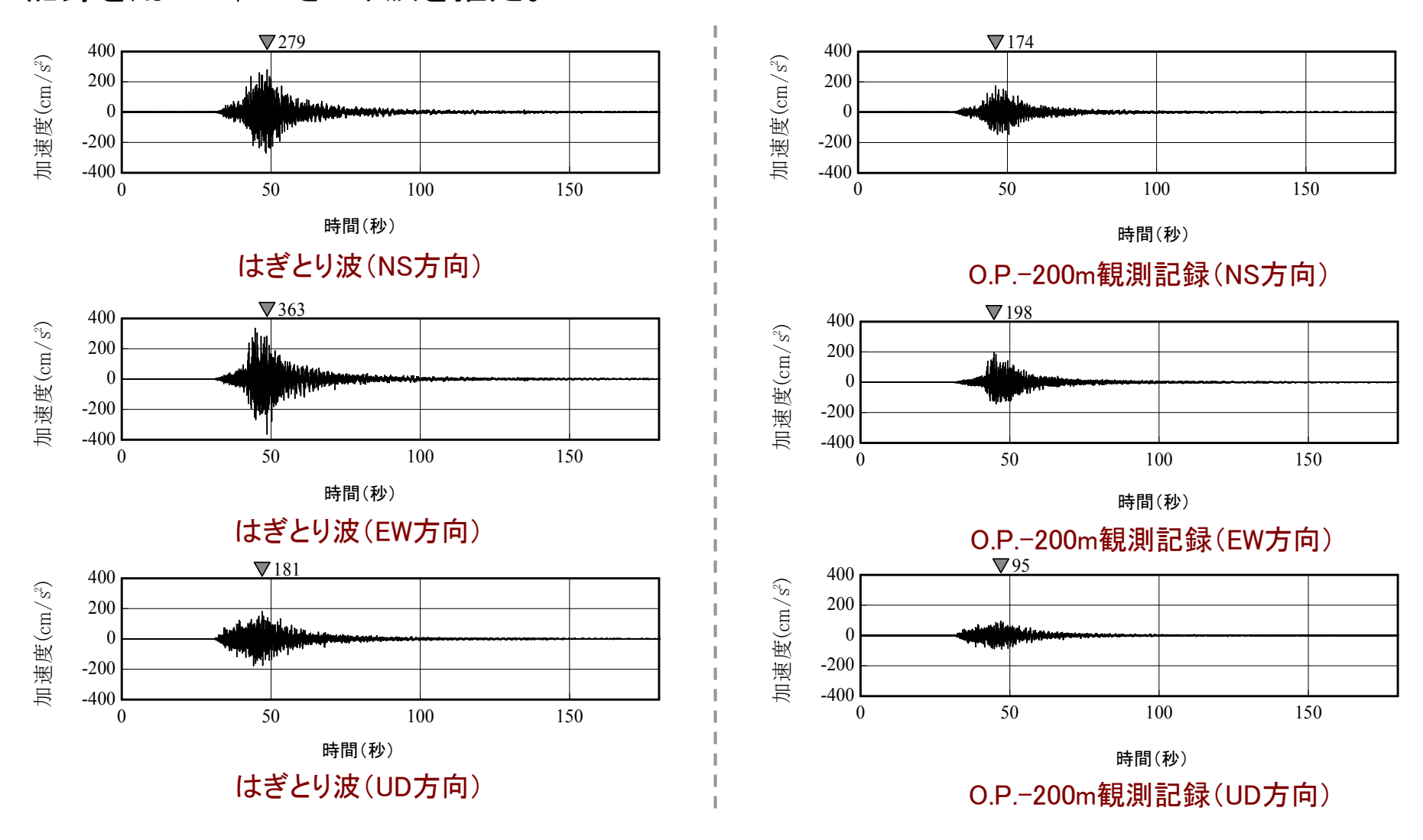
はぎとり波と弾性設計用地震動Sdの比較(水平方向)

はぎとり波と弾性設計用地震動Sdの比較(鉛直方向)

③自由地盤系南地点 はぎとり波の推定(加速度時刻歴波形)



解放基盤表面(O.P.-196m)に最も近いO.P.-200mの位置に設置されている地震計の記録を用いて、はぎとり波を推定。



③自由地盤系南地点 はぎとり波の推定 (擬似速度応答スペクトル)



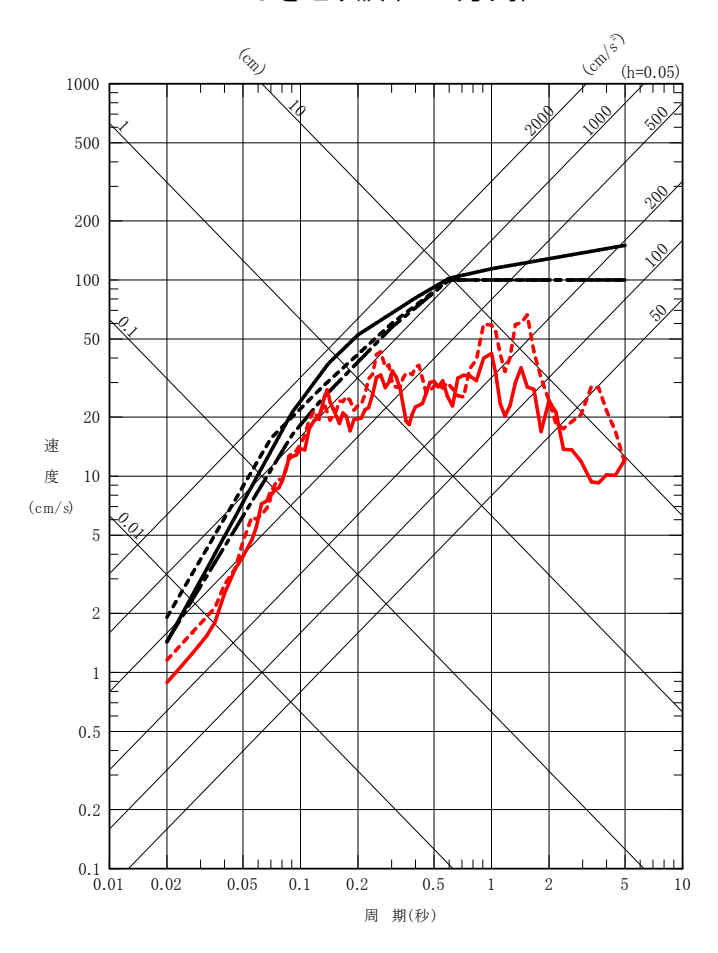
—— 基準地震動Ss-1H

----- 基準地震動Ss-2H

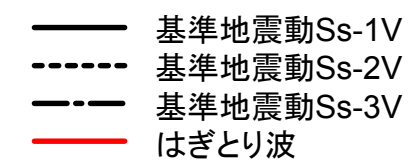
--- 基準地震動Ss-3H

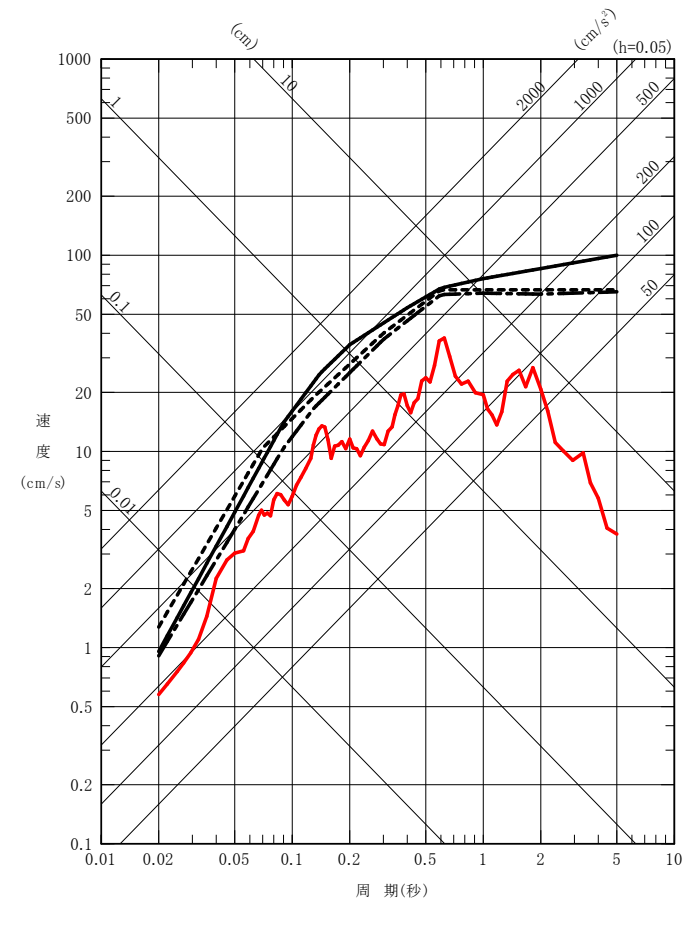
一 はぎとり波(NS方向)

----- はぎとり波(EW方向)



はぎとり波と基準地震動Ssの比較(水平方向)





はぎとり波と基準地震動Ssの比較(鉛直方向)

③自由地盤系南地点 はぎとり波の推定(加速度応答スペクトル)



----- 基準地震動Ss-1H

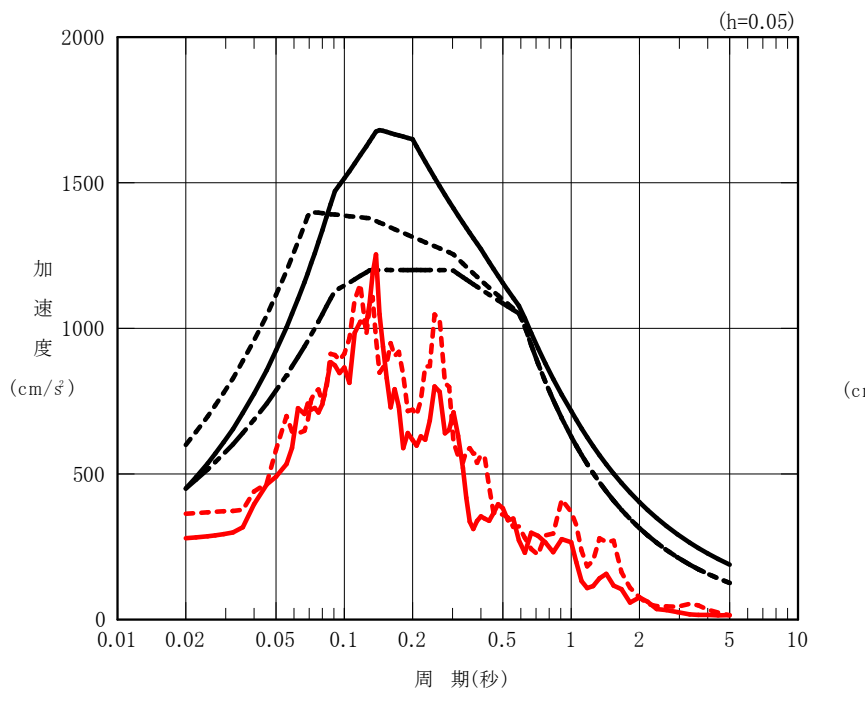
•---- 基準地震動Ss-2H

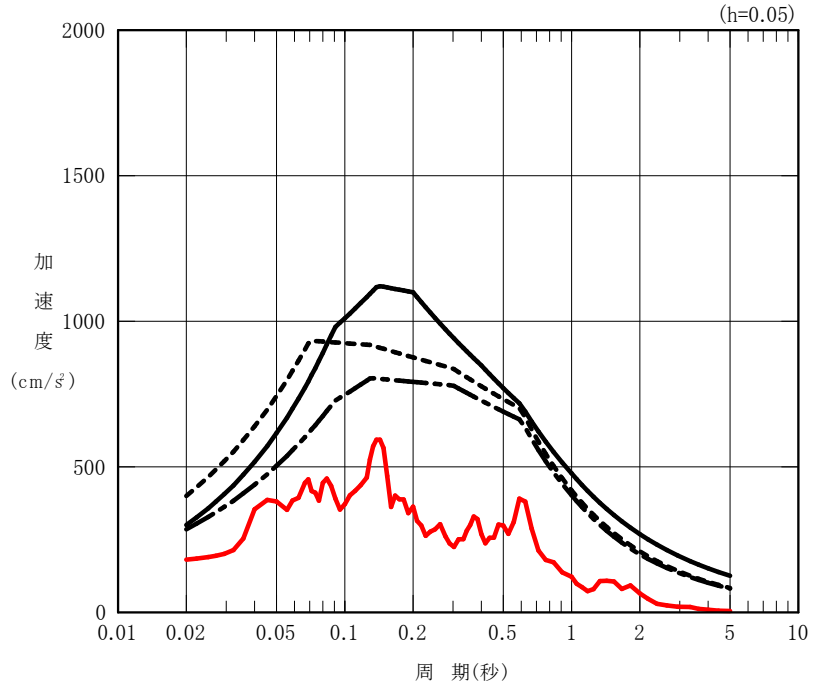
·-- 基準地震動Ss-3H

ーー はぎとり波(NS方向)

** はぎとり波(EW方向)

基準地震動Ss-1V基準地震動Ss-2V基準地震動Ss-3Vはぎとり波





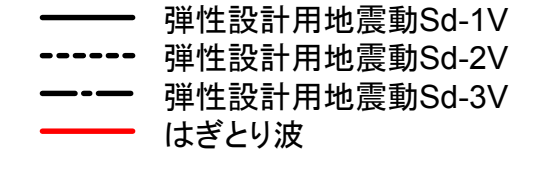
はぎとり波と基準地震動Ssの比較(水平方向)

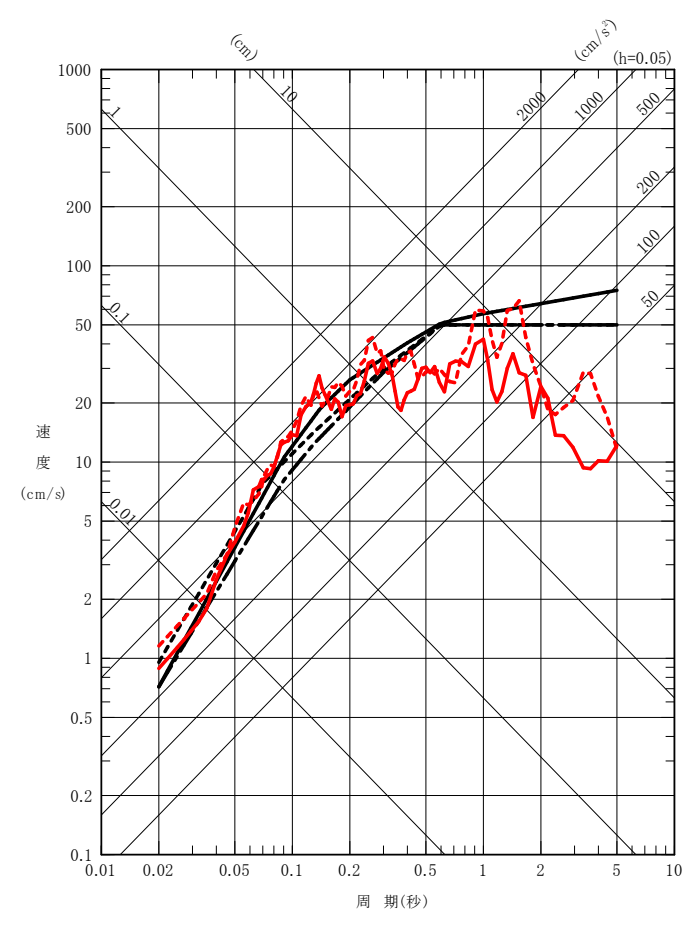
はぎとり波と基準地震動Ssの比較(鉛直方向)

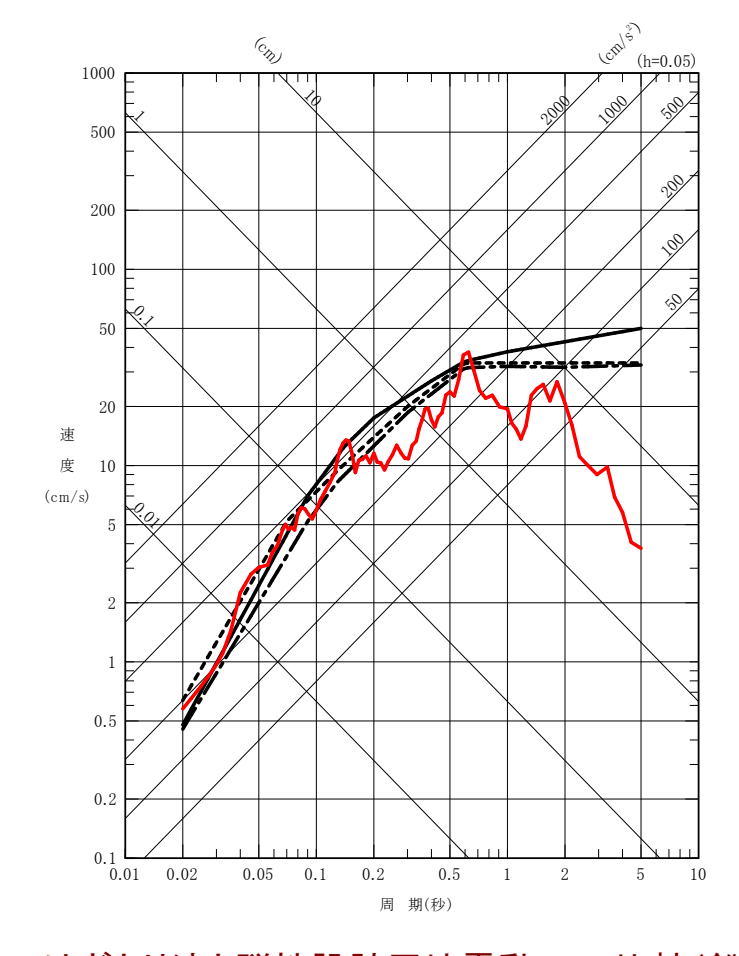
③自由地盤系南地点 はぎとり波の推定 (擬似速度応答スペクトル)



弾性設計用地震動Sd-1H弾性設計用地震動Sd-2H弾性設計用地震動Sd-3Hはぎとり波(NS方向)はぎとり波(EW方向)







はぎとり波と弾性設計用地震動Sdの比較(水平方向)

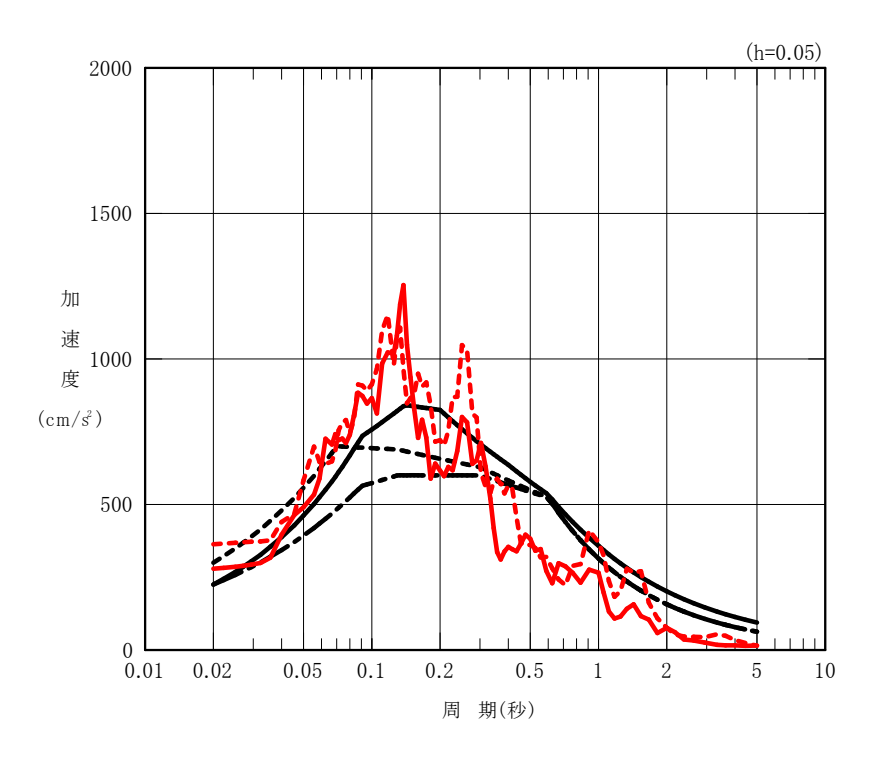
はぎとり波と弾性設計用地震動Sdの比較(鉛直方向)

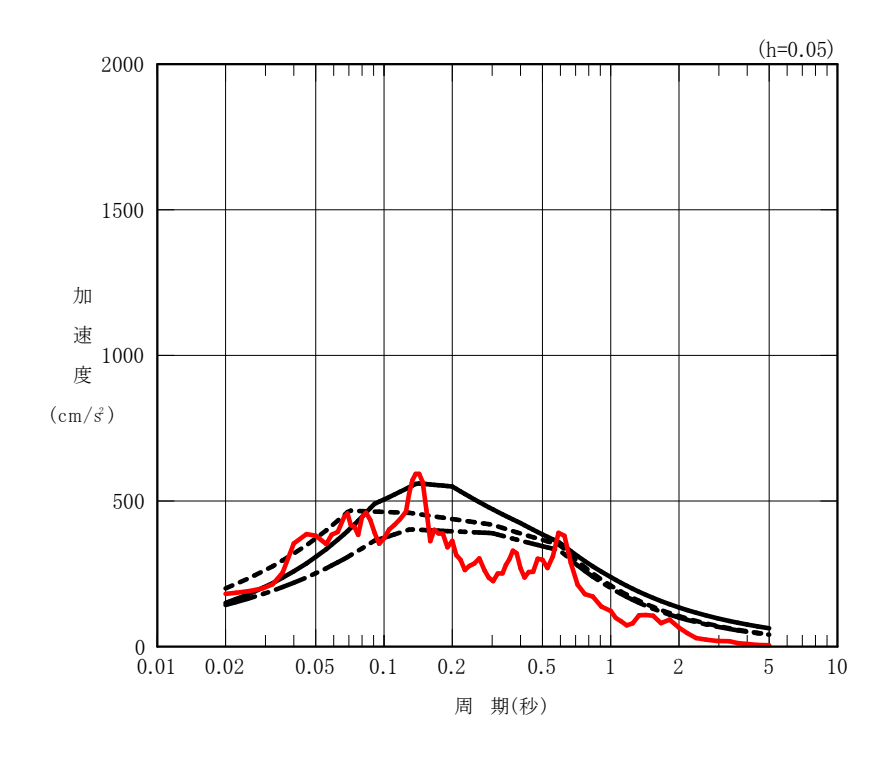
③自由地盤系南地点 はぎとり波の推定(加速度応答スペクトル)



弾性設計用地震動Sd-1H呼性設計用地震動Sd-2H弾性設計用地震動Sd-3Hはぎとり波(NS方向)はぎとり波(EW方向)

弾性設計用地震動Sd-1V弾性設計用地震動Sd-2V弾性設計用地震動Sd-3Vはぎとり波





はぎとり波と弾性設計用地震動Sdの比較(水平方向)

はぎとり波と弾性設計用地震動Sdの比較(鉛直方向)